

การลดกรดไขมันอิสระในน้ำมันปาล์มดิบโดยใช้เรซินแลกเปลี่ยนประจุ

Free fatty acid reduction in crude palm oil by using an ion-exchange resin

ชนินทร์ จินตนาวงศ์ ประกอบ กิจไชยา

สาขาวิชาวิศวกรรมเคมี คณะวิศวกรรมศาสตร์ สถาบันเทคโนโลยีพระจอมเกล้าเจ้าคุณทหารลาดกระบัง

บทคัดย่อ

บทความนี้รายงานการลดกรดไขมันอิสระในน้ำมันปาล์มดิบ (CPO) โดยกระบวนการดูดซับของกรดไขมันอิสระด้วยเรซินแลกเปลี่ยนประจุ Lewatit S 6368 ในคอลัมน์แบบเบดบรรจุซึ่งปริมาตรรวมของเรซินเท่ากับ 61 มิลลิลิตรในน้ำมันปาล์มดิบที่อุณหภูมิ 60 องศาเซลเซียส โดยจะศึกษากราฟเบรคทรูจ (Breakthrough curve) ที่อัตราการไหลเชิงปริมาตรของน้ำมันปาล์มดิบเท่ากับ 0.76 1.30 และ 2.48 มิลลิลิตรต่อนาทีตามลำดับ จากผลการทดลองพบว่าสามารถลดปริมาณกรดไขมันอิสระในน้ำมันปาล์มดิบจาก 3.5 เปอร์เซ็นต์โดยน้ำหนักเหลือ 0.01 เปอร์เซ็นต์โดยน้ำหนัก ซึ่งแบบจำลองทางคณิตศาสตร์ที่สอดคล้องกับการทดลองสามารถคำนวณค่าคงที่สมดุลการดูดซับ (K) เท่ากับ 6.13 มิลลิลิตรน้ำมันปาล์มดิบต่อมิลลิลิตรเรซิน และค่าสัมประสิทธิ์การแพร่ภายในเรซิน (D_e) เท่ากับ 5.8×10^{-7} ตารางเซนติเมตรต่อวินาทีโดยมีค่าสัมประสิทธิ์การกำหนด (R^2) เท่ากับ 0.99

คำสำคัญ : กรดไขมันอิสระ, น้ำมันปาล์มดิบ, กราฟเบรคทรูจ, เรซินแลกเปลี่ยนประจุ, การดูดซับ

Abstract

This paper reports a reduction of free fatty acid (FFA) in crude palm oil by using an ion-exchange resin, namely Lewatit S 6368. 61 ml of the resin was packed in a packed bed column fed with crude palm oil (CPO) at 60°C. Breakthrough curve for reducing FFA in CPO solution was determined at volumetric flow rates of 0.76, 1.30 and 2.48 ml/min, respectively. FFA was reduced in the column from 3.5 to 0.01 wt %. By applying a mathematical model of breakthrough curve, equilibrium adsorption constant (K) and effective diffusivity (D_e) were determined to be 6.13 ml/g resin and 5.8×10^{-7} cm²/s, respectively, with the Coefficient of Determination (R^2) = 0.99.

Keywords : Free fatty acid, Crude palm oil, Breakthrough curve, Ion-exchange resin, Adsorption.

1. บทนำ

การลดกรดไขมันอิสระในน้ำมันปาล์มดิบเป็นกระบวนการหนึ่งในการทำน้ำมันปาล์มให้บริสุทธิ์ซึ่งในน้ำมันปาล์มดิบสดใหม่จะมีปริมาณกรดไขมันอิสระประมาณ 3 เปอร์เซ็นต์โดยน้ำหนัก และกรดไขมันเหล่านี้เอกสารนี้เป็นเอกสารที่สงวนไว้สำหรับการใช้งานเพื่อการศึกษาเท่านั้น ไม่อนุญาตให้นำไปใช้ประโยชน์ด้านการค้าไม่ว่ากรณีใดๆ ทั้งสิ้น อีกทั้งห้ามมิให้ตัดแปลงเนื้อหา และต้องอ้างอิงถึงเจ้าของเอกสารทุกครั้งที่มีการนำไปใช้

จะทำให้ น้ำมันปาล์มมีฤทธิ์เป็นกรด และยังทำให้ น้ำมันปาล์มมีกลิ่นไม่ดีอีกด้วย จึงจำเป็นต้องทำการลดกรดไขมันอิสระก่อนนำ น้ำมันปาล์มมาบริโภค ซึ่งกระบวนการลดกรดไขมันอิสระที่นิยมใช้ในอุตสาหกรรมโดยทั่วไปมีสองวิธีคือ การกลั่นแยกในสภาวะสุญญากาศ

และการทำให้เป็นกลางโดยใช้ด่างเข้มข้น ซึ่งทั้งสองกระบวนการนี้เป็นกระบวนการที่ต้องใช้พลังงานสูงและอาจสูญเสียผลผลิตน้ำมันปาล์มไปกับกระบวนการเหล่านี้เป็นจำนวนมาก [1] ดังนั้นเพื่อลดการสูญเสียผลผลิตน้ำมันปาล์มและพลังงาน กระบวนการดูดซับจึงเป็นอีกทางเลือกหนึ่งซึ่งสามารถใช้ลดกรดไขมันอิสระในน้ำมันปาล์มดิบได้ดี จากรายงานของ Cren และคณะ [2] เรซิน Amberlyst 26A OH ซึ่งเป็นเรซินประจุลบสามารถดูดซับกรดโอเลอิกในสารละลายเอทานอลและสามารถดูดซับกรดโอเลอิกได้สูงสุดเท่ากับ 1.34 กรัมต่อกรัมเรซิน ดังนั้นในงานวิจัยนี้จึงได้ทำการทดลองลดกรดไขมันอิสระในน้ำมันปาล์มดิบด้วยตัวดูดซับเรซินประจุลบ Lewatit S 6368 ในรูปไฮดรอกไซด์เพื่อศึกษากราฟเบรคทวร์จ (Breakthrough curve) ของการลดกรดไขมันอิสระโดยไม่มีการผสมเอทานอลเข้ากับ CPO

2. ทฤษฎีที่เกี่ยวข้อง

2.1 แบบจำลองทางคณิตศาสตร์ของกราฟ

เบรคทวร์จ

สมการสมดุลมวลสารของกรดไขมันอิสระในเบดเรซินสามารถเขียนได้เป็นสมการ Partial Differential ดังสมการที่ 1 [3]

$$-u \frac{\partial C}{\partial z} = -D_L \frac{\partial^2 C}{\partial z^2} + \frac{\partial C}{\partial t} + \frac{\rho_b}{\varepsilon} \frac{\partial q}{\partial t} \quad (1)$$

สมมติฐานในการแก้ปัญหาที่มีดังนี้คือ (1)เกรเดียนของความเข้มข้นของกรดไขมันอิสระตามแนวรัศมีของเบดมีค่าน้อย (2)การทดลองมีอัตราการไหลเชิงปริมาตรคงที่ (3)อัตราการดูดซับเป็นแบบ linear driving force แสดงดังสมการที่ 2 (4)ระบบมีอุณหภูมิคงที่ (5)สมบัติทางกายภาพของเรซิน และของไหลมีค่าคงที่ (6)void fraction ในเบดเปลี่ยนแปลงน้อยเสมือนคงที่ (7)สมดุลการดูดซับเป็นเส้นตรง [3]

$$\frac{\partial q}{\partial t} = -k_f (q - q_{eq}) = k_f \frac{K}{\rho_p} (C - C^*) \quad (2)$$

สมดุลการดูดซับในการทดลองนี้จะใช้สมการเส้นตรงดังแสดงในสมการที่ 3 [3]

$$q_{eq} = \frac{K}{\rho_p} C^* \quad (3)$$

เงื่อนไขเริ่มต้นและเงื่อนไขขอบเขตของการทดลองนี้เป็นไปตามสมการที่ 4 5 6 และ 7 ตามลำดับ [4]

$$q(0, z) = 0 \quad (4)$$

$$C(0, z) = 0 \quad (5)$$

$$C(t, 0) = C_{Feed} + \frac{D_L}{u} \frac{\partial C}{\partial z} \quad (6)$$

$$\frac{\partial C(t, z)}{\partial z} = 0 \text{ ที่ } z = L \quad (7)$$

2.2 Mass Transfer Resistance

อัตราการดูดซับในสมการที่ 2 เป็นผลเนื่องมาจากการถ่ายเทมวลสารทั้งภายนอกและภายในของเรซินซึ่งมีความสัมพันธ์ดังสมการที่ 8 [3]

$$\frac{1}{k_f K} = \frac{R_p}{3k_c} + \frac{R_p^2}{15D_e} \quad (8)$$

เมื่อ ทางซ้ายของสมการที่ 8 คือ Overall Mass Transfer Resistance ซึ่งเป็นผลรวมของ External และ Internal Mass Transfer ในพจน์ที่ 1 และ 2 ในทางขวาของสมการที่ 8 ค่า k_c สามารถคำนวณได้จาก Sherwood number ซึ่งเป็นตัวแปรไร้มิติที่นิยามดังสมการที่ 9 [5]

$$Sh = \frac{k_c 2R_p}{D_{AB}} \quad (9)$$

เมื่อ Dvidevi และ Upadhyay ได้นำเสนอความสัมพันธ์ของ J_D สำหรับเครื่องปฏิกรณ์แบบเบดบรรจุไว้ดังสมการที่ 10 [5]

$$\ln J_D = \frac{0.765}{Re^{0.82}} + \frac{0.365}{Re^{0.368}} \quad (10)$$

โดยที่ J_D นิยามตามสมการที่ 11 [5]

$$J_D = \frac{Sh}{Sc^{1/3} Re} \quad (11)$$

เมื่อ Re และ Sc คือ Reynold และ Schmidt number ตามลำดับนิยามดังสมการที่ 12 และ 13 [5]

$$Re = \frac{\rho 2R_p u}{\mu} \quad (12)$$

$$Sc = \frac{\mu}{\rho D_{AB}} \quad (13)$$

2.3 Axial Dispersion

ผลของ Axial Dispersion จะมีความสำคัญเมื่ออัตราการไหลของของไหลต่ำและ Reynold number มีค่า

เอกสารนี้เป็นเอกสารที่สงวนไว้สำหรับการใช้งานเพื่อการศึกษาเท่านั้น ไม่อนุญาตให้นำไปใช้ประโยชน์ด้านการค้า ไม่ว่ากรณีใดๆ ทั้งสิ้น อีกทั้งห้ามมิให้ตัดแปลงเนื้อหา และต้องอ้างอิงถึงเจ้าของเอกสารทุกครั้งที่มีการนำไปใช้

น้อยโดยที่ค่าสัมประสิทธิ์ Axial Dispersion (D_L) สามารถคำนวณผ่าน Peclet number (Pe) ซึ่งนิยามตามสมการที่ 14 [7]

$$Pe = \frac{u2R_p}{D_L} \quad (14)$$

Wakao ได้นำเสนอความสัมพันธ์ของ Pe ไว้ดังสมการที่ 15 [7]

$$\frac{1}{Pe} = \frac{20}{\varepsilon} \left(\frac{1}{Re Sc} \right) + \frac{1}{2} \quad (15)$$

2.4 การหาค่าปริมาณการดูดซับทั้งหมด

ปริมาณการดูดซับกรดไขมันอิสระทั้งหมดสามารถคำนวณได้จากสมการที่ 16 [2]

$$q_{total} = \frac{C_{Feed} \dot{V}}{m_{resin}} \int_0^{t_{end}} \left(1 - \frac{C_{Out}}{C_{Feed}} \right) dt \quad (16)$$

2.5 ขั้นตอนวิธีการแก้ปัญหา

ในการหาคำตอบของสมการจะใช้ระเบียบวิธีเชิงตัวเลข (Numerical method) โดยประยุกต์ใช้วิธี Method of lines ซึ่งจะเปลี่ยน Partial Differential Equation ให้เป็น Ordinary Differential Equation แล้วแก้สมการโดยใช้วิธี Runge-Kutta [8]

3. การทดลอง

3.1 การเตรียมเรซิน Lewatit S 6368 ให้อยู่ในรูปไฮดรอกไซด์

เรซินประจุลบ Lewatit S 6368 เกรดการค้าจะอยู่ในรูปคลอไรด์ไอออน จึงต้องทำการเปลี่ยนรูปของเรซินให้อยู่ในรูปของไฮดรอกไซด์ก่อน ซึ่งการเปลี่ยนรูปเรซินจะใช้สารละลายโซเดียมไฮดรอกไซด์ 4 เปอร์เซ็นต์โดยน้ำหนักปริมาณ 300 มิลลิลิตรไหลผ่านเรซินด้วยอัตราการไหลเชิงปริมาตรเท่ากับ 2 มิลลิลิตรต่อนาทีโดยบรรจุเรซินปริมาตร 65 มิลลิลิตรในน้ำกลั่นในหลอดแก้วทรงกระบอกขนาด 80 มิลลิลิตร ล้างสารละลายโซเดียมไฮดรอกไซด์ที่ค้างในเบดด้วยน้ำกลั่นจนน้ำที่ออกมามีฤทธิ์เป็นกลาง จากนั้นแทนที่น้ำในเบดและใน

รูปของเรซินด้วยไอโซโพรพิลแอลกอฮอล์เกรดการค้า ปริมาตร 300 มิลลิลิตร หลังจากผ่านด้วยไอโซโพรพานอล ปริมาตรของเบดเรซินจะเปลี่ยนแปลงเมื่ออยู่ในสารละลายต่างกัดังแสดงในตารางที่ 1

ตารางที่ 1 ปริมาตรของเบดเรซินที่มีน้ำหนักแห้งเท่ากับ 45 กรัมเมื่ออยู่ในสารละลายต่างๆ

สารละลาย	ปริมาตรเบดเรซิน (มิลลิลิตร)	void fraction
น้ำกลั่น	65	0.37
ไอโซโพรพิลแอลกอฮอล์	59	0.31
น้ำมันปาล์มดิบ	61	0.32

3.2 การทดลองหากราฟเบดทูลูจของการลดกรดไขมันอิสระ

น้ำมันปาล์มดิบที่มีปริมาณกรดไขมันอิสระเท่ากับ 3.5 เปอร์เซ็นต์โดยน้ำหนักจะถูกป้อนผ่านคอลัมน์ที่บรรจุด้วยเรซิน Lewatit S 6368 โดยมีปริมาตรในน้ำมันปาล์มดิบเท่ากับ 61 มิลลิลิตรความยาวของเบดเท่ากับ 40 เซนติเมตร เนื่องจากน้ำมันปาล์มดิบมีการแยกชั้นของปาล์มโอเลอินและปาล์มสเตอรินที่อุณหภูมิห้องจึงทำการทดลองที่อุณหภูมิคงที่ 60 องศาเซลเซียสเพื่อให้ปาล์มโอเลอินและปาล์มสเตอรินในน้ำมันปาล์มดิบละลายเข้ากันได้ดีโดยมีอัตราการไหลเชิงปริมาตรเท่ากับ 0.76 1.30 และ 2.48 มิลลิลิตรต่อนาที ตามลำดับ ทำการเก็บตัวอย่างน้ำมันปาล์มดิบที่ทางออกของคอลัมน์ทุก 30 นาทีจากนั้นทำการวัดปริมาณกรดไขมันอิสระต่อไป

3.3 การวัดปริมาณกรดไขมันอิสระในน้ำมันปาล์มดิบ [9]

การวัดปริมาณกรดไขมันอิสระในน้ำมันปาล์มดิบทำได้โดยการไทเทรตตัวอย่างน้ำมันกับสารละลายโซเดียมไฮดรอกไซด์มาตรฐานโดยใช้ฟีนอล์ฟทาลินเป็นอินดิเคเตอร์ซึ่งจะมีจุดยุติอยู่ที่ pH 8.3 - 10.0 และสารละลายจะเป็นสีชมพูอ่อน

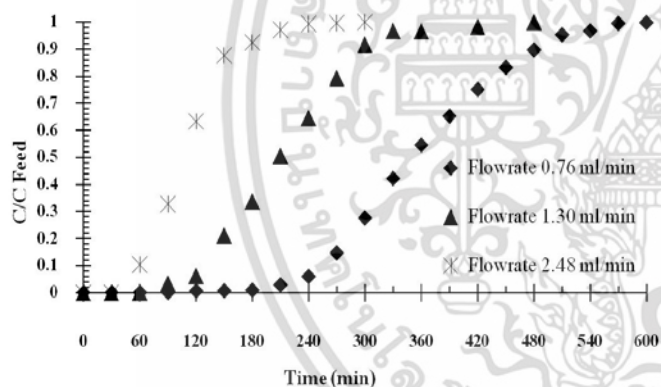
เอกสารนี้เป็นเอกสารที่สงวนไว้สำหรับการใช้งานเพื่อการศึกษาเท่านั้น ไม่อนุญาตให้นำไปใช้ประโยชน์ด้านการค้า ไม่ว่ากรณีใดๆ ทั้งสิ้น อีกทั้งห้ามมิให้ดัดแปลงเนื้อหา และต้องอ้างอิงถึงเจ้าของเอกสารทุกครั้งที่มีการนำไปใช้

4. ผลการทดลอง

4.1 ผลกราฟเบรคทอร์จของการลดกรดไขมัน

อิสระ

จากการทดลองลดกรดไขมันอิสระโดยการบีมน้ำมันปาล์มดิบผ่านเรซิน Lewatit S 6368 ในรูปไฮดรอกไซด์ที่อุณหภูมิ 60 องศาเซลเซียสโดยมีอัตราการไหลเชิงปริมาตรต่างๆ แสดงดังรูปที่ 1 เนื่องจากปริมาณกรดไขมันอิสระในน้ำมันปาล์มที่ใช้บริ โภคไม่ควรเกิน 0.1 เปอร์เซ็นต์โดยน้ำหนัก [1] ปริมาณกรดไขมันอิสระในน้ำมันปาล์มดิบที่ใช้ในการทดลองเท่ากับ 0.031 กรัมกรดไขมันอิสระต่อมิลลิตรน้ำมันปาล์มดิบ (3.5 wt%) ดังนั้นจุด Break point จึงกำหนดให้เท่ากับ $0.028 C_{Feed}$ และพบว่าอัตราการไหลเชิงปริมาตรของน้ำมันปาล์มดิบมีผลต่อ t_{break} (เวลาที่จุด Break point) และ t_{end} (เวลาที่จุดอิ่มตัว) ดังแสดงในตารางที่ 2



รูปที่ 1 กราฟเบรคทอร์จของกรดไขมันอิสระที่อัตราการไหลเชิงปริมาตรต่างๆ

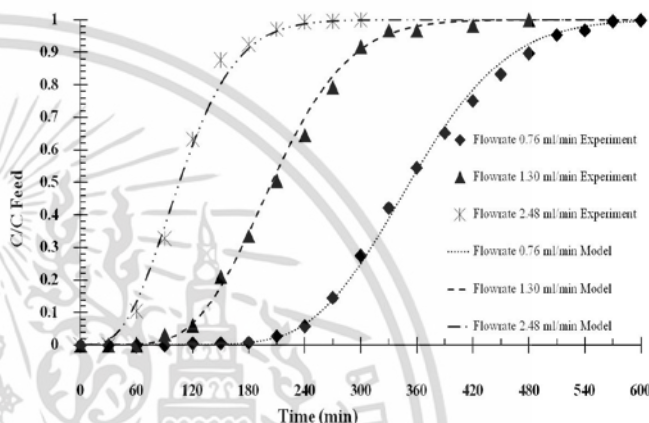
ตารางที่ 2 ปริมาณการดูดซับ t_{break} t_{end} และ t_{Cont} ที่อัตราการไหลเชิงปริมาตรต่างๆ

\dot{V} (ml/min)	2.48	1.30	0.76
q_{total} (g FFA/g resin)	0.1870	0.1880	0.1880
t_{break} (min)	30	90	360
t_{end} (min)	210	240	570
t_{Cont} (min)	8.15	15.54	26.58

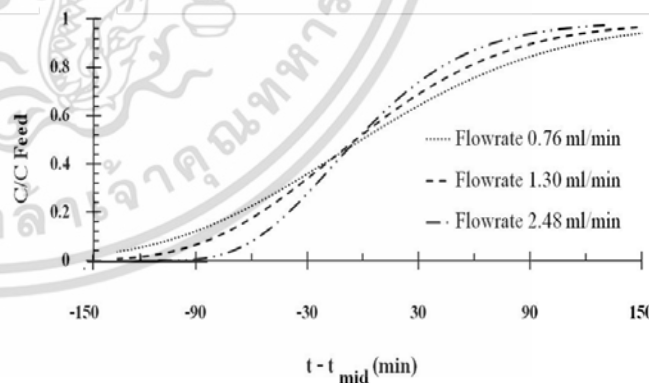
จากตารางที่ 2 จะเห็นว่าที่อัตราการไหลเชิงปริมาตรเท่ากับ 0.76 มิลลิตรต่ออนาทีมี t_{break} และ t_{end} นานที่สุด เพราะเวลาในการสัมผัสกันของกรดไขมันอิสระกับเรซิน นานที่สุด

4.2 ผลการคำนวณกราฟเบรคทอร์จผ่านแบบจำลองทางคณิตศาสตร์

ผลการคำนวณกราฟเบรคทอร์จจากแบบจำลองทางคณิตศาสตร์เปรียบเทียบกับผลการทดลองแสดงดังรูปที่ 2



รูปที่ 2 การเปรียบเทียบกราฟเบรคทอร์จที่คำนวณจากแบบจำลองทางคณิตศาสตร์กับผลที่ได้จากการทดลองที่อัตราการไหลเชิงปริมาตรต่างๆ



รูปที่ 3 แสดงการเปรียบเทียบกราฟเบรคทอร์จที่อัตราการไหลต่างๆเมื่อ t_{mid} คือเวลาที่ C/C_{Feed} เท่ากับ 0.5

จากรูปที่ 3 พบว่าที่อัตราการไหลเชิงปริมาตรต่างๆกราฟเบรคทอร์จจะมีความชันแตกต่างกันเนื่องมาจากอัตราการไหลมีผลต่อ External Mass Transfer Resistance (EMTR) ซึ่งเมื่ออัตราการไหลของของไหลมีค่าสูงทำให้อัตราการ

ถ่ายเทมวลสารภายนอกเรซินเกิดขึ้นเร็ว ทำให้ EMTR มีค่าน้อยกว่ากรณีที่อัตราการไหลเชิงปริมาตรต่ำ นอกจากนี้ผลของอัตราการไหลยังส่งผลทำให้เกิด Axial Dispersion ซึ่งจะมีผลมากในกรณีที่อัตราการไหลมีค่าต่ำมาก ๆ จนผลอัตราการแพร่ของความเข้มข้นตามความยาวของเบดมีความสำคัญมากขึ้น ซึ่งผลของ EMTR และ Axial Dispersion จะแสดงในรูปของค่า k_c และ D_L ดังแสดงในตารางที่ 3

ตารางที่ 3 แสดงค่าต่างๆของกราฟเบรคทวูจในการดูดซับของกรดไขมันอิสระ

\dot{V} (ml/min)	0.76	1.30	2.48
Re	0.007	0.012	0.023
Sh	69.062	77.077	88.364
Pe	1.902	1.941	1.967
Sc	33.33×10^4	33.33×10^4	33.33×10^4
k_f (1/min)	0.102	0.103	0.105
k_c (cm/s)	1.05×10^{-3}	1.17×10^{-3}	1.34×10^{-3}
D_L (cm ² /s)	7.45×10^{-4}	1.23×10^{-3}	2.29×10^{-3}
R ²	0.999	0.998	0.994

เมื่อนำค่าจากตารางที่ 3 มาคำนวณ Mass Transfer Resistance ในสมการที่ 8 จะพบว่าอัตราการดูดซับเป็นผลจาก External และ Internal Mass Transfer ประมาณ 6 และ 94 เปอร์เซ็นต์ตามลำดับซึ่งสามารถคำนวณค่า D_e ได้เท่ากับ 5.83×10^{-7} ตารางเซนติเมตรต่อวินาที

5. สรุปผลการทดลอง

จากการทดลองลดกรดไขมันอิสระในน้ำมันปาล์มดิบโดยใช้กระบวนการดูดซับด้วยเรซิน Lewatit S 6368 ในคอลัมน์แบบบรรจุที่อุณหภูมิ 60 องศาเซลเซียสพบว่าสามารถลดกรดไขมันอิสระได้จริงโดยแบบจำลองทางคณิตศาสตร์มีความถูกต้องสามารถอธิบายกราฟเบรคทวูจได้ ($R^2=0.99$) และสามารถคำนวณค่าคงที่สมดุลการดูดซับ (K) และสัมประสิทธิ์การแพร่ภายในเรซินเท่ากับ

(D_e) ได้เท่ากับ 6.13 มิลลิตรน้ำมันปาล์มดิบต่อ มิลลิตรเรซิน และ 5.8×10^{-7} ตารางเซนติเมตรต่อวินาที

6. เอกสารอ้างอิง

- [1] F. Shahidi, *Bailey's Industrial Oil & Fat Products*, John Wiley & Sons, New Jersey, 2005.
- [2] E. C. Cren, C. L. Filho, E. A. Silva, and J. A. Meirelles, "Breakthrough curves for oleic removal from ethanolic solutions using a strong anion exchange resin," *Separation and Purification Technology*, Vol. 69, pp. 1-6, 2009.
- [3] J. D. Seader, and E. J. Henley, *Separation Process Principles*, John Wiley & Sons, New York, 1998.
- [4] V. P. Danckwerts, "Continuous flow systems distribution of residence times," *Chem. Eng. Sci.*, Vol. 2, pp. 1-13, 1953.
- [5] N. P. Dwidivi, and N. S. Upadhyay, "Particle-fluid mass transfer in fixed and fluidized beds," *Ind. Eng. Chem. Process Des.*, Vol. 16, pp.157-165, 1977.
- [6] A. K. Reddy, and K. L. Doraiswamy, "Estimating Liquid Diffusivity," *Ind. Eng. Chem. Fund.*, Vol. 6, pp.77-79, 1967.
- [7] D. M. Ruthven, *Principles of Adsorption and Adsorption processes*, John Wiley & Sons, New York, 1984.
- [8] S. C. Chapra and R. P. Canale, *Numerical Methods for Engineers*, Mcgraw-Hill, New York, 1998.

เอกสารนี้เป็นเอกสารที่สงวนไว้สำหรับการใช้งานเพื่อการศึกษาเท่านั้น ไม่อนุญาตให้นำไปใช้ประโยชน์ด้านการค้า ไม่ว่ากรณีใดๆ ทั้งสิ้น อีกทั้งห้ามมิให้ดัดแปลงเนื้อหา และต้องอ้างอิงถึงเจ้าของเอกสารทุกครั้งที่มีการนำไปใช้

- [9] H. R. Lin, and C. I. Lin, "Kinetics of adsorption of free fatty acids from water-degummed and alkali-refined soy oil using regenerated clay," Separation and Purification Technology, Vol. 44, pp.258-265, 2005.

7. ภาคผนวกสัญลักษณ์

- C คือความเข้มข้นของกรดไขมันอิสระ (กรัมกรดไขมันอิสระต่อมิลลิลิตรน้ำมันปาล์มดิบ)
- C^* คือความเข้มข้นที่จุดสมดุล (กรัมกรดไขมันอิสระต่อมิลลิลิตรน้ำมันปาล์มดิบ)
- C_{Feed} คือความเข้มข้นของกรดไขมันอิสระที่เข้าคอลัมน์ (กรัมต่อมิลลิลิตร)
- C_{Out} คือความเข้มข้นของกรดไขมันอิสระที่ออกจากคอลัมน์ (กรัมต่อมิลลิลิตร)
- D_{AB} คือสัมประสิทธิ์การแพร่ของกรดไขมันอิสระในน้ำมันปาล์มดิบ มีค่าเท่ากับ 1.03×10^{-6} ตารางเซนติเมตรต่อวินาที คำนวณได้จากสมการของ Reddy และ Doraiswamy [6]
- D_e คือสัมประสิทธิ์การแพร่ภายในเรซิน (ตารางเซนติเมตรต่อวินาที)
- D_L คือสัมประสิทธิ์ Axial Dispersion (ตารางเซนติเมตรต่อวินาที)
- K คือค่าคงที่สมดุล (มิลลิลิตรน้ำมันปาล์มดิบต่อมิลลิลิตรเรซิน)
- k_c คือสัมประสิทธิ์การเทมวลาสารภายนอก (เซนติเมตรต่อวินาที)
- k_f คือค่าคงที่อัตราการดูดซับ (นาที⁻¹)
- L คือความยาวของเบดเรซินทั้งหมดเท่ากับ 40 เซนติเมตร
- m_{resin} คือน้ำหนักทั้งหมดของเรซินแห้ง (กรัม)
- q คือปริมาณกรดไขมันอิสระที่ถูกดูดซับบนเรซิน (กรัมกรดไขมันอิสระต่อกรัมเรซิน)
- q_{eq} คือค่าการดูดซับที่จุดสมดุล (กรัมกรดไขมันอิสระต่อกรัมเรซิน)

- q_{total} คือปริมาณการดูดซับของกรดไขมันอิสระทั้งหมด (กรัมกรดไขมันอิสระต่อกรัมเรซิน)
- R_p คือรัศมีของเรซินมีค่าเท่ากับ 0.055 เซนติเมตร
- R^2 คือสัมประสิทธิ์การกำหนด
- t คือเวลา (นาที)
- t_{break} เวลาที่จุด Break point (นาที)
- t_{Cont} เวลาในการสัมผัสกันของกรดไขมันอิสระกับเรซิน (นาที) = $\varepsilon V_{bed} / \dot{V}$
- t_{end} คือเวลาที่จุดอิ่มตัวของเรซิน (นาที)
- t_{mid} คือเวลาที่ C/C_{Feed} เท่ากับ 0.5
- u คือความเร็วของน้ำมันปาล์มดิบในเบดเรซิน (เซนติเมตรต่อวินาที)
- \dot{V} คืออัตราการไหลเชิงปริมาตร (มิลลิลิตรต่อวินาที)
- V_{bed} คือปริมาตรเบดเรซิน (มิลลิลิตร)
- z คือความยาวของเบดเรซิน (เซนติเมตร)
- ตัวแปรไร้มิติ
- Pe Peclet number = $u2R_p / D_L$
- Re Reynold number = $u2R_p / D_L$
- Sc Schmidt number = $\mu / \rho D_{AB}$
- Sh Sherwood number = $k_c 2R_p / D_{AB}$
- อักษรกรีก
- ε คือ void fraction ในเบดเรซิน
- μ คือความหนืดของน้ำมันปาล์มดิบมีค่าเท่ากับ 0.1639 กรัมต่อ(เซนติเมตร วินาที) [1]
- ρ คือความหนาแน่นของน้ำมันปาล์มดิบมีค่าเท่ากับ 0.87 กรัมต่อมิลลิลิตร [1]
- ρ_b คือ bulk density ของเรซินมีค่าเท่ากับ 0.74 กรัมเรซินต่อมิลลิลิตรเบดเรซิน
- ρ_p คือ resin density คำนวณโดย $\rho_p = \rho_b / (1 - \varepsilon)$ (กรัมเรซิน ต่อมิลลิลิตรเรซิน)